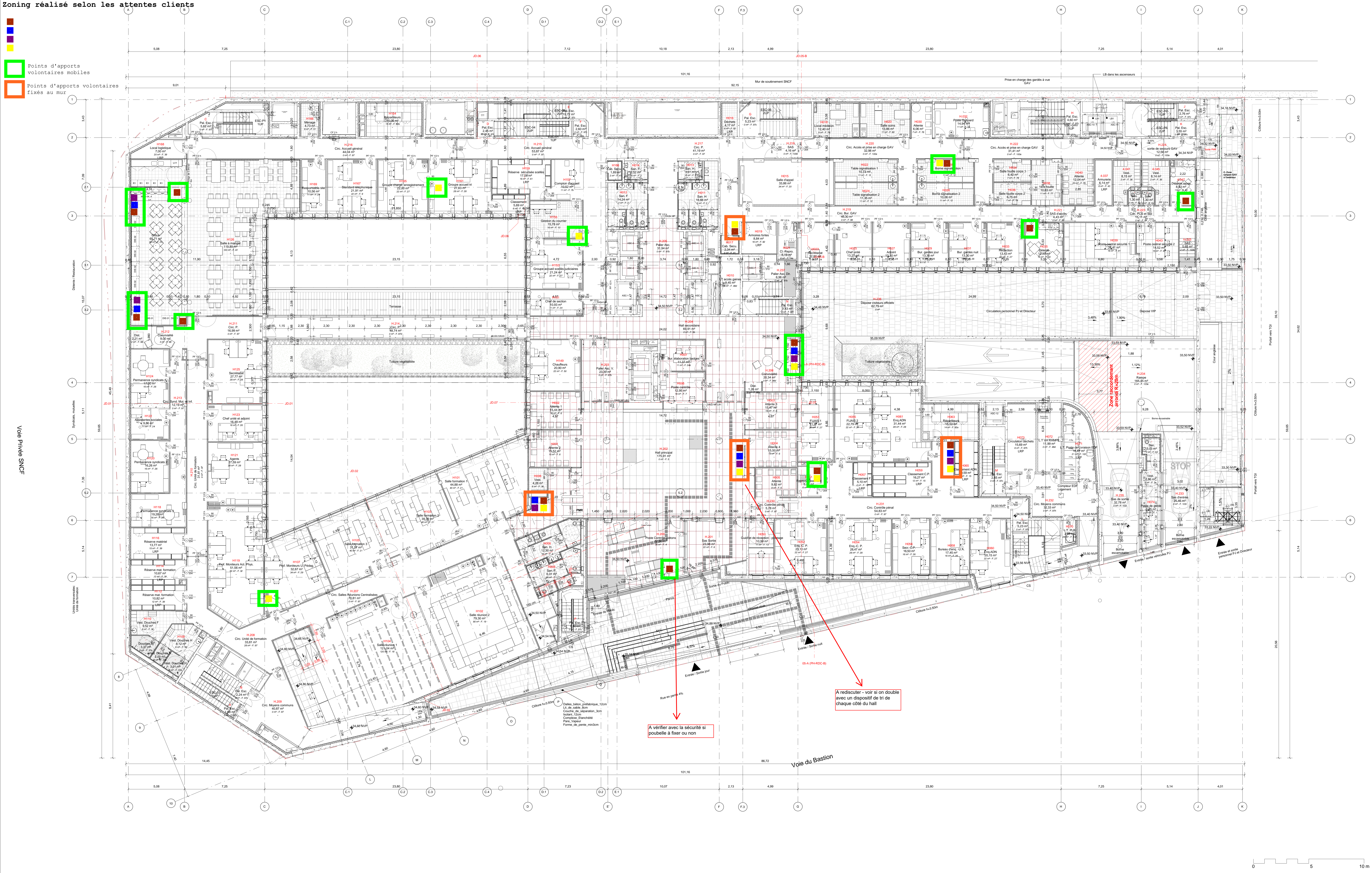


Proposition d'implantation des points d'apport volontaires pour le tri sélectif
RDC haut DRPJ

Zoning réalisé selon les attentes clients

Points d'apports
volontaires mobiles

Points d'apports volontaires
fixés au mur



Nota: le mobilier est représenté à titre indicatif.

Béton armé
Parpaing
Isolant

A	20170327	Diffusion DOE-A	CE
B	20170328	Diffusion DOE-B	CE
C	20170329	Diffusion DOE-C	CE
D	20170330	Diffusion DOE-D	CE
E	20170331	Diffusion DOE-E	CE
F	20170401	Diffusion DOE-F	CE
G	20170402	Diffusion DOE-G	CE
H	20170403	Diffusion DOE-H	CE
I	20170404	Diffusion DOE-I	CE
J	20170405	Diffusion DOE-J	CE
K	20170406	Diffusion DOE-K	CE
L	20170407	Diffusion DOE-L	CE
M	20170408	Diffusion DOE-M	CE
N	20170409	Diffusion DOE-N	CE
O	20170410	Diffusion DOE-O	CE
P	20170411	Diffusion DOE-P	CE
Q	20170412	Diffusion DOE-Q	CE
R	20170413	Diffusion DOE-R	CE
S	20170414	Diffusion DOE-S	CE
T	20170415	Diffusion DOE-T	CE
U	20170416	Diffusion DOE-U	CE
V	20170417	Diffusion DOE-V	CE
W	20170418	Diffusion DOE-W	CE
X	20170419	Diffusion DOE-X	CE
Y	20170420	Diffusion DOE-Y	CE
Z	20170421	Diffusion DOE-Z	CE
AA	20170422	Diffusion DOE-AA	CE
AB	20170423	Diffusion DOE-AB	CE
AC	20170424	Diffusion DOE-AC	CE
AD	20170425	Diffusion DOE-AD	CE
AE	20170426	Diffusion DOE-AE	CE
AF	20170427	Diffusion DOE-AF	CE
AG	20170428	Diffusion DOE-AG	CE
AH	20170429	Diffusion DOE-AH	CE
AI	20170430	Diffusion DOE-AI	CE
AJ	20170501	Diffusion DOE-AJ	CE
AK	20170502	Diffusion DOE-AK	CE
AL	20170503	Diffusion DOE-AL	CE
AM	20170504	Diffusion DOE-AM	CE
AN	20170505	Diffusion DOE-AN	CE
AO	20170506	Diffusion DOE-AO	CE
AP	20170507	Diffusion DOE-AP	CE
AQ	20170508	Diffusion DOE-AQ	CE
AR	20170509	Diffusion DOE-AR	CE
AS	20170510	Diffusion DOE-AS	CE
AT	20170511	Diffusion DOE-AT	CE
AU	20170512	Diffusion DOE-AU	CE
AV	20170513	Diffusion DOE-AV	CE
AW	20170514	Diffusion DOE-AW	CE
AX	20170515	Diffusion DOE-AX	CE
AY	20170516	Diffusion DOE-AY	CE
AZ	20170517	Diffusion DOE-AZ	CE
BA	20170518	Diffusion DOE-BA	CE
BB	20170519	Diffusion DOE-BB	CE
BC	20170520	Diffusion DOE-BC	CE
BD	20170521	Diffusion DOE-BD	CE
BE	20170522	Diffusion DOE-BE	CE
BF	20170523	Diffusion DOE-BF	CE
BG	20170524	Diffusion DOE-BG	CE
BH	20170525	Diffusion DOE-BH	CE
BI	20170526	Diffusion DOE-BI	CE
BJ	20170527	Diffusion DOE-BJ	CE
BK	20170528	Diffusion DOE-BK	CE
BL	20170529	Diffusion DOE-BL	CE
BM	20170530	Diffusion DOE-BM	CE
BN	20170531	Diffusion DOE-BN	CE
BO	20170601	Diffusion DOE-BO	CE
BP	20170602	Diffusion DOE-BP	CE
BQ	20170603	Diffusion DOE-BQ	CE
BR	20170604	Diffusion DOE-BR	CE
BS	20170605	Diffusion DOE-BS	CE
BT	20170606	Diffusion DOE-BT	CE
BU	20170607	Diffusion DOE-BU	CE
BV	20170608	Diffusion DOE-BV	CE
BW	20170609	Diffusion DOE-BW	CE
BX	20170610	Diffusion DOE-BX	CE
BY	20170611	Diffusion DOE-BY	CE
BZ	20170612	Diffusion DOE-BZ	CE
CA	20170613	Diffusion DOE-CA	CE
CB	20170614	Diffusion DOE-CB	CE
CC	20170615	Diffusion DOE-CC	CE
CD	20170616	Diffusion DOE-CD	CE
CE	20170617	Diffusion DOE-CE	CE
CF	20170618	Diffusion DOE-CF	CE
CG	20170619	Diffusion DOE-CG	CE
CH	20170620	Diffusion DOE-CH	CE
CI	20170621	Diffusion DOE-CI	CE
CJ	20170622	Diffusion DOE-CJ	CE
CK	20170623	Diffusion DOE-CK	CE
CL	20170624	Diffusion DOE-CL	CE
CM	20170625	Diffusion DOE-CM	CE
CN	20170626	Diffusion DOE-CN	CE
CO	20170627	Diffusion DOE-CO	CE
CP	20170628	Diffusion DOE-CP	CE
CQ	20170629	Diffusion DOE-CQ	CE
CR	20170630	Diffusion DOE-CR	CE
CS	20170701	Diffusion DOE-CS	CE
CT	20170702	Diffusion DOE-CT	CE
CU	20170703	Diffusion DOE-CU	CE
CV	20170704	Diffusion DOE-CV	CE
CW	20170705	Diffusion DOE-CW	CE
CX	20170706	Diffusion DOE-CX	CE
CY	20170707	Diffusion DOE-CY	CE
CZ	20170708	Diffusion DOE-CZ	CE
DA	20170709	Diffusion DOE-DA	CE
DB	20170710	Diffusion DOE-DB	CE
DC	20170711	Diffusion DOE-DC	CE
DD	20170712	Diffusion DOE-DD	CE
DE	20170713	Diffusion DOE-DE	CE
DF	20170714	Diffusion DOE-DF	CE
DG	20170715	Diffusion DOE-DG	CE
DH	20170716	Diffusion DOE-DH	CE
DI	20170717	Diffusion DOE-DI	CE
DJ	20170718	Diffusion DOE-DJ	CE
DK	20170719	Diffusion DOE-DK	CE
DL	20170720	Diffusion DOE-DL	CE
DM	20170721	Diffusion DOE-DM	CE
DN	20170722	Diffusion DOE-DN	CE
DO	20170723	Diffusion DOE-DO	CE
DP	20170724	Diffusion DOE-DP	CE
DQ	20170725	Diffusion DOE-DQ	CE
DR	20170726	Diffusion DOE-DR	CE
DS	20170727	Diffusion DOE-DS	CE
DT	20170728	Diffusion DOE-DT	CE
DU	20170729	Diffusion DOE-DU	CE
DV	20170730	Diffusion DOE-DV	CE
DW	20170731	Diffusion DOE-DW	CE
DX	20170801	Diffusion DOE-DX	CE
DY	20170802	Diffusion DOE-DY	CE
DZ	20170803	Diffusion DOE-DZ	CE
EA	20170804	Diffusion DOE-EA	CE
EB	20170805	Diffusion DOE-EB	CE
EC	20170806	Diffusion DOE-EC	CE
ED	20170807	Diffusion DOE-ED	CE
EE	20170808	Diffusion DOE-EE	CE
EF	20170809	Diffusion DOE-EF	CE
EG	20170810	Diffusion DOE-EG	CE
EH	20170811	Diffusion DOE-EH	CE
EI	20170812	Diffusion DOE-EI	CE
EJ	20170813	Diffusion DOE-EJ	CE
EK	20170814	Diffusion DOE-EK	CE
EL	20170815	Diffusion DOE-EL	CE
EM	20170816	Diffusion DOE-EM	CE
EN	20170817	Diffusion DOE-EN	CE
EO	20170818	Diffusion DOE-EO	CE
EP	20170819	Diffusion DOE-EP	CE
EQ	20170820	Diffusion DOE-EQ	CE
ER	20170821	Diffusion DOE-ER	CE
ES	20170822	Diffusion DOE-ES	CE
ET	20170823	Diffusion DOE-ET	CE
EU	20170824	Diffusion DOE-EU	CE
EV	20170825	Diffusion DOE-EV	CE
EW	20170826	Diffusion DOE-EW	CE
EX	20170827	Diffusion DOE-EX	CE
EY	20170828	Diffusion DOE-EY	CE
EZ	20170829	Diffusion DOE-EZ	CE
FA	20170830	Diffusion DOE-FA	CE
FB	20170831	Diffusion DOE-FB	CE
FC	20170901	Diffusion DOE-FC	CE
FD	20170902	Diffusion DOE-FD	CE
FE	20170903	Diffusion DOE-FE	CE
FF	20170904	Diffusion DOE-FF	CE
FG	20170905	Diffusion DOE-FG	CE
FH	20170906	Diffusion DOE-FH	CE
FI	20170907	Diffusion DOE-FI	CE
FJ	20170908	Diffusion DOE-FJ	CE
FK	20170909	Diffusion DOE-FK	CE
FL	20170910	Diffusion DOE-FL	CE
FM	20170911	Diffusion DOE-FM	CE
FN	20170912	Diffusion DOE-FN	CE
FO	20170913	Diffusion DOE-FO	CE
FP	20170914	Diffusion DOE-FP	CE
FQ	20170915	Diffusion DOE-FQ	CE
FR	20170916	Diffusion DOE-FR	CE
FS	20170917	Diffusion DOE-FS	CE
FT	20170918	Diffusion DOE-FT	CE
FU	20170919	Diffusion DOE-FU	CE
FV	20170920	Diffusion DOE-FV	CE
FW	20170921	Diffusion DOE-FW	CE
FX	20170922	Diffusion DOE-FX	CE
FY	20170923	Diffusion DOE-FY	CE
FZ	20170924	Diffusion DOE-FZ	CE
GA	20170925	Diffusion DOE-GA	CE
GB	20170926	Diffusion DOE-GB	CE
GC	20170927	Diffusion DOE-GC	CE
GD	20170928	Diffusion DOE-GD	CE
GE	20170929	Diffusion DOE-GE	CE
GF	20170930	Diffusion DOE-GF	CE
GG	20171001	Diffusion DOE-GG	CE
GH	20171002	Diffusion DOE-GH	CE
GI	20171003	Diffusion DOE-GI	CE
GO	20171004	Diffusion DOE-GO	CE
GP	20171005	Diffusion DOE-GP	CE
GQ	20171006	Diffusion DOE-GQ	CE
GR	20171007	Diffusion DOE-GR	CE
GS	20171008	Diffusion DOE-GS	CE
GT	20171009	Diffusion DOE-GT	CE
GU	20171010	Diffusion DOE-GU	CE
GV	20171011	Diffusion DOE-GV	CE
GW	20171012	Diffusion DOE-GW	CE
GX	20171013	Diffusion DOE-GX	CE
GY	20171014	Diffusion DOE-GY	CE
GZ	20171015	Diffusion DOE-GZ	CE
HA	20171016	Diffusion DOE-HA	CE
HB	20171017	Diffusion DOE-HB	CE
HC	20171018	Diffusion DOE-HC	CE
HD	20171019	Diffusion DOE-HD	CE
HE	20171020	Diffusion DOE-HE	CE
HF	20171021	Diffusion DOE-HF	CE
HG	20171022	Diffusion DOE-HG	CE
HH	20171023	Diffusion DOE-HH	CE
HI	20171024	Diffusion DOE-HI	CE
HJ	20171025	Diffusion DOE-HJ	CE
HK	20171026	Diffusion DOE-HK	CE
HL	20171027	Diffusion DOE-HL	CE
HM	20171028	Diffusion DOE-HM	CE
HN	20171029	Diffusion DOE-HN	CE
HO	20171030	Diffusion DOE-HO	CE
HP	20171031	Diffusion DOE-HP	CE
HQ	20171101	Diffusion DOE-HQ	CE
HR	20171102	Diffusion DOE-HR	CE
HS	20171103	Diffusion DOE-HS	CE
HT	20171104	Diffusion DOE-HT	CE
HU	20171105	Diffusion DOE-HU	CE
HV	20171106	Diffusion DOE-HV	CE
HW	20171107	Diffusion DOE-HW	CE
HX	20171108	Diffusion DOE-HX	CE
HY	20171109	Diffusion DOE-HY	CE
HZ	20171110	Diffusion DOE-HZ	CE
IA	20171111	Diffusion DOE-IA	CE
IB	20171112	Diffusion DOE-IB	CE
IC	20171113	Diffusion DOE-IC	CE
ID	20171114	Diffusion DOE-ID	CE
IE	20171115	Diffusion DOE-IE	CE
IF	20171116	Diffusion DOE-IF	CE
IG	20171117	Diffusion DOE-IG	CE
IH	20171118	Diffusion DOE-IH	CE
II	20171119	Diffusion DOE-II	CE
IJ	20171120	Diffusion DOE-IJ	CE
IK	20171121	Diffusion DOE-IK	CE
IL	20171122	Diffusion DOE-IL	CE
IM	20171123	Diffusion DOE-IM	CE
IN	20171124	Diffusion DOE-IN	CE
IO	20171125	Diffusion DOE-IO	CE
IP	20171126	Diffusion DOE-IP	CE
IQ	20171127	Diffusion DOE-IQ	CE
IR	20171128	Diffusion DOE-IR	CE
IS	20171129	Diffusion DOE-IS	CE
IT	20171130	Diffusion DOE-IT	CE
IU	20171201	Diffusion DOE-IU	CE
IV	20171202	Diffusion DOE-IV	CE
IW	20171203	Diffusion DOE-IW	CE
IX	20171204	Diffusion DOE-IX	CE
IY	20171205	Diffusion DOE-IY	CE
IZ	20171206	Diffusion DOE-IZ	CE
JA	20171207	Diffusion DOE-JA	CE
JB	20171208	Diffusion DOE-JB	CE
JC	20171209	Diffusion DOE-JC	CE
JD	20171210	Diffusion DOE-JD	CE
JE	20171211	Diffusion DOE-JE	CE
JF	20171212	Diffusion DOE-JF	CE
JG	20171213	Diffusion DOE-JG	CE
JH	20171214	Diffusion DOE-JH	CE
JI	20171215	Diffusion DOE-JI	CE
JO	20171216	Diffusion DOE-JO	CE
JP	20171217	Diffusion DOE-JP	CE
QQ	20171218	Diffusion DOE-QQ	CE
QR	20171219	Diffusion DOE-QR	CE
QS	20171220	Diffusion DOE-QS	CE
QT	20171221	Diffusion DOE-QT	CE
QU	20171222	Diffusion DOE-QU	CE
QV	20171223	Diffusion DOE-QV	CE
QW	20171224	Diffusion DOE-QW	CE
QX	20171225	Diffusion DOE-QX	CE
QY	20171226	Diffusion DOE-QY	CE
QZ	20171227	Diffusion DOE-QZ	CE
RA	20171228	Diffusion DOE-RA	CE
RB	20171229	Diffusion DOE-RB	CE
RC	20171230	Diffusion DOE-RC	CE
RD	20180101	Diffusion DOE-RD	CE
RE	20180102	Diffusion DOE-RE	CE
RF	20180103	Diffusion DOE-RF	CE
RG	20180104	Diffusion DOE-RG	CE
RH	20180105	Diffusion DOE-RH	CE
RI	20180106	Diffusion DOE-RI	CE
RO	20180107	Diffusion DOE-RO	CE
RP	20180108	Diffusion DOE-RP	CE
RQ	20180109	Diffusion DOE-RQ	CE
RR	20180110	Diffusion DOE-RR	CE
RS	20180111	Diffusion DOE-RS	CE
RT	20180112	Diffusion DOE-RT	CE
RU	20180113	Diffusion DOE-RU	CE
RV	20180114	Diffusion DOE-RV	CE
RW	20180115	Diffusion DOE-RW	CE
RX	20180116	Diffusion DOE-RX	CE
RY	20180117	Diffusion DOE-RY	CE
RZ	20180118	Diffusion DOE-RZ	CE
SA	20180119	Diffusion DOE-SA	CE
SB	20180120	Diffusion DOE-SB	CE
SC	20180121	Diffusion DOE-SC	CE
SD	20180122	Diffusion DOE-SD	CE
SE	20180123	Diffusion DOE-SE	CE
SF	20180124	Diffusion DOE-SF	CE
SG	20180125	Diffusion DOE-SG	CE
SH	20180126	Diffusion DOE-SH	CE
SI	20180127	Diffusion DOE-SI	CE
SJ	20180128	Diffusion DOE-SJ	CE
SK	20180129	Diffusion DOE-SK	CE</